

https://doi.org/10.3799/dqkx.2018.598



东昆仑野马泉地区磷灰石裂变径迹热年代学及构造意义

朱传宝¹, 孙非非¹, 袁万明^{2*}, 张爱奎¹, 张大明¹, 马忠元¹, 周青禄¹, 王生明¹, 赵梦琪¹, 刘光莲¹

1. 青海省第三地质矿产勘查院, 青海西宁 810029

2. 中国地质大学科学研究院, 北京 100083

摘要:通过对东昆仑西段野马泉地区所获得的5个磷灰石样品的裂变径迹分析,探讨该地区构造演化特征。磷灰石裂变径迹年龄分为153.8 Ma、106.8~81.0 Ma、48.7~44.4 Ma 3个年龄组,其中153.8 Ma记录了班公湖—怒江洋闭合事件;106.8~81.0 Ma是拉萨地块与羌塘地块碰撞拼合事件对东昆仑地区的远程效应;48.7~44.4 Ma是印度—欧亚大陆碰撞之后伸展事件的体现。野马泉地区热历史分为3个阶段:第1阶段(130~110 Ma)持续隆升,对应班公湖—怒江洋闭合后拉萨地块与羌塘地块拼合事件;第2阶段(110~14 Ma)持续隆升,90 Ma之前隆升速度较快,与阿尔金断裂走滑及西大滩断裂韧性变形有关,90 Ma之后进入一个时间较长的平稳抬升期;第3阶段(14 Ma至今)受青藏高原新近纪以来强烈构造活动的影响,快速隆升。3个阶段的隆升速率和隆升量分别0.021 mm/a和0.42 km、0.01 mm/a和1.0 km、0.1 mm/a和1.43 km,平均隆升速率为0.028 mm/a,总隆升量为2.86 km。

关键词: 裂变径迹; 构造; 热历史模拟; 岩石隆升; 磷灰石; 东昆仑。

中图分类号: P542; P597

文章编号: 1000-2383(2018)06-2019-10

收稿日期: 2018-01-17

Apatite Fission Track Thermochronology and Tectonic Significance in Yemaquan Area, East Kunlun

Zhu Chuanbao¹, Sun Feifei¹, Yuan Wanming^{2*}, Zhang Aikui¹, Zhang Daming¹, Ma Zhongyuan¹, Zhou Qinglu¹, Wang Shengming¹, Zhao Mengqi¹, Liu Guanglian¹

1.No. 3 Exploration Institute of Geology and Mineral Resources of Qinghai Province, Xining 810029, China

2.Institute of Earth Sciences, China University of Geosciences, Beijing 100083, China

Abstract: We present the tectonic evolution characteristics of Yemaquan area, which is located in west of the East Kunlun Mountains, according to apatite fission track thermochronology analysis. The results show that apatite fission track ages mainly are divided into three groups, including 153.8 Ma, 106.8 to 81.0 Ma, and 48.7 to 44.4 Ma, respectively. The Bangonghu-Nujiang ocean closure event happened in 153.8 Ma, then the collision and combination of Lhasa block and Qiangtang block on the East Kunlun area mainly ranged from 106.8 to 81.0 Ma, and post-orogenic stretching events after the collision between the India-Eurasia occurred during 48.7 Ma and 44.4 Ma. In addition, the analysis results also indicate that three stages of thermal history of Yemaquan area are mainly ranged from 130 to 110 Ma, 110 to 14 Ma, and 14 Ma to now, respectively. The first stage, 130–110 Ma, corresponds to collision activity between the Lhasa and the Qiangtang block after the closed up of the Bangonghu-Nujiang oceanic basin. The second stage, 110–14 Ma, rised continuously, with strike-slip movement of Alkin fault and the ductile deformation of the Xidatan fault occurred during 110–90 Ma. And the last stage, 14 Ma to now, uplifted rapid-

基金项目: 柴达木盆地南北缘成矿系统与勘查开发示范项目(No.2016-SF-A3); 国土资源部公益性行业科研专项经费项目(No.201411025); 国家自然科学基金项目(Nos.41730427, 41172088); 国家重点基础研究发展规划项目(No.2015CB452606)。

作者简介: 朱传宝(1985—), 男, 硕士研究生, 地质矿产高级工程师, 主要从事地质矿产勘查、矿床地质研究。ORCID: 0000-0002-7049-0055。

E-mail: zhuchuanbao9999@163.com

* 通讯作者: 袁万明, E-mail: yuanwm@cugb.edu.cn

引用格式: 朱传宝, 孙非非, 袁万明, 等, 2018. 东昆仑野马泉地区磷灰石裂变径迹热年代学及构造意义. 地球科学, 43(6): 2019–2028.

ly, and affected by strong tectonic activity of Tibetan plateau since Neogene. Uplift rates and uplift ranges for these three stages are estimated of 0.021 mm/a and 0.42 km, 0.01 mm/a and 1.0 km, and 0.1 mm/a and 1.43 km, respectively, with the average uplift rate and the total uplift height of 0.028 mm/a, and 2.86 km, respectively.

Key words: fission track; tectonics; thermal history simulation; uplifting; apatite; East Kunlun.

0 引言

东昆仑山脉是一条巨型岩浆岩带(莫宣学等, 2007a), 位于青藏高原北部。目前, 国内外学者对东昆仑造山带的研究多集中于不同造山旋回各阶段的演化(邓晋福等, 1996; 郭正府等, 1998; 罗照华等, 1999; 袁万明等, 2000a) 以及对各造山时期进行厘定的地球化学和同位素年代学(谌宏伟等, 2006; 刘云华等, 2006; Zhu *et al.*, 2006; Chen *et al.*, 2008; 过磊等, 2010; 张炜等, 2016; 赵菲菲等, 2017)。相对而言, 对中生代冷却历史的研究较少(袁万明等, 2000b, 2004, 2005; Yuan *et al.*, 2003, 2006, 2013; Wang *et al.*, 2006; 王国灿等, 2007; 拜永山等, 2008; 陈宣华等, 2011; 陈小宁等, 2014; Xu *et al.*, 2016)。开展东昆仑山脉造山期后冷却、隆升历史研究, 对于深入理解东昆仑造山带形成以后的构造演化意义重大。

近年来, 磷灰石裂变径迹热年代学研究取得重要进展, 已成为揭示造山带地质构造演化的重要手段(Hay *et al.*, 1989; Métivier and Gaudemer, 1997; Gleadow *et al.*, 2002; Kohn *et al.*, 2002; Kohn, 2005)。本文对东昆仑造山带西段野马泉地区的 5 件花岗岩样品进行磷灰石裂变径迹热年代学研究, 探讨区内不同阶段构造活动的热年代学制约, 定量评价地质热演化历史及隆升特点。

1 地质背景

研究区位于东昆仑造山带西段(图 1), 北邻祁漫塔格山北坡岩浆弧带和柴达木陆块, 南与东昆中陆块相接(张雪亭, 2006; 张爱奎, 2012)。区域地质构造演化经历了 4 个构造旋回, 从早到晚依次为: 元古宙古陆形成、加里东期裂解及造山、晚华力西—印支期裂解造山和晚中生代—新生代叠复造山(张以蕪,

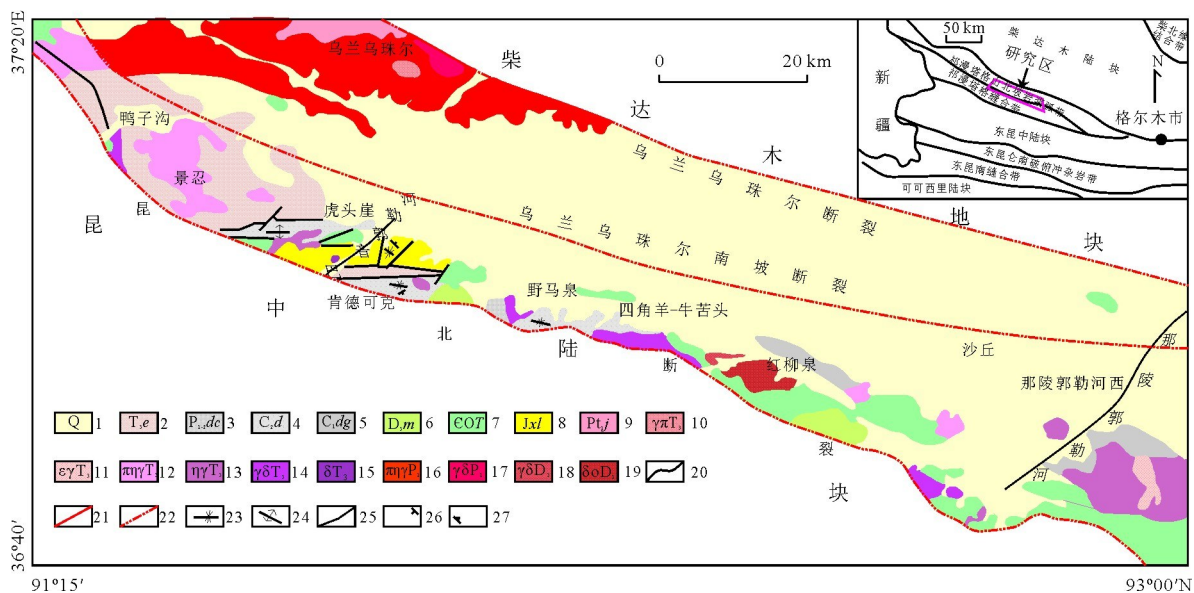


图 1 野马泉地区区域地质图

Fig.1 Regional geological map of Yemaquan region in East Kunlun Mountain

1.第四系; 2.上三叠统鄂拉山组; 3.下—中二叠统打柴沟组; 4.上石炭统缙敖苏组; 5.下石炭统大干沟组; 6.上泥盆统牦牛山组; 7.寒武系—奥陶系滩间山群; 8.蓟县系狼牙山组; 9.下元古界金水口岩群; 10.晚三叠系世花岗岩斑岩; 11.晚三叠系世正常花岗岩; 12.晚三叠世似斑状二长花岗岩; 13.晚三叠世二长花岗岩; 14.晚三叠世花岗闪长岩; 15.晚三叠世闪长岩; 16.早二叠世似斑状二长花岗岩; 17.早二叠世花岗闪长岩; 18.晚泥盆世花岗闪长岩; 19.晚泥盆世石英闪长岩; 20.不整合接触地质界线; 21.断层; 22.大断裂; 23.背斜; 24.向斜; 25.水系; 26.地层产状; 27.片麻理产状; 据张爱奎(2012)修改

1994).区内北西向、近东西向压扭性断裂较发育。

野马泉地区地层主要有下元古代金水口岩群(Pt_{1j})、蓟县系狼牙山组(Jxl)、寒武系—奥陶系滩间山群(EOT)、上泥盆世牦牛山组(D_{3m})、下石炭统大干沟组(C_{1dg})、上石炭统缙敖苏组(C_{2d})、下—中二叠统打柴沟组(P_{1-2dc})、上三叠统鄂拉山组(T_{3e})、新近系油砂山组(N_{2y})、第四系(Q)。区内花岗岩浆活动非常发育,主要发育有早古生代和晚古生代—早中生代两个岩浆作用旋回的花岗岩类侵入岩,其中又以后者最为强烈.各个旋回的花岗岩类侵入岩主要受北西向和北西西向两组断裂构造控制。

2 样品采集与分析方法

本次测试样品均为花岗岩类,采集于东昆仑野马泉地区,具体采样位置见图 2,样品 K13-1 为花岗闪长岩,K19-1 为二长花岗岩,K21-2 为花岗斑岩,K21-3 为花岗闪长岩,K38-1 为斑状二长花岗岩。

样品粉碎至 60~100 目,应用电磁选、重液选联

合双目镜筛选,对磷灰石单矿物进行浓缩.将磷灰石单矿物分布在玻璃上,然后用环氧树脂固定,经研磨、抛光制成薄片.将磷灰石样品用 5% HNO₃ 在 25 °C 条件下蚀刻 30 s,揭示出自发径迹.采用外探测器法定年,将样品与低轴白云母外探测器同时通过反应堆辐照,在 25 °C 条件下,用 40% HF 蚀刻 20 s,揭示出诱发径迹,使用 CN-5 铀玻璃标定中子注量.在平行于 c 轴的柱面上分别测出诱发径迹密度和自发径迹密度,根据程序(Green,1986)测定水平封闭径迹长度(Gleadow *et al.*,1986).通过 IUGS(国际地质科学联合会,International Union of Geological Sciences)推荐的 ξ 常数法,利用标准裂变径迹年龄方程(Hurford and Green,1982)计算磷灰石裂变径迹年龄,获得 Zeta 常数为 353±18(1 σ).

通过 Green(1981)提供的方法计算磷灰石裂变径迹年龄误差, $P(\chi^2)$ 值>5%说明单颗粒属于同一年龄组(Galbraith,1981). $P(\chi^2)$ <5%说明单颗粒年龄分布不均匀.如年龄分散,则以“中心年龄”表示,基于泊松变异的常规分析(Green,1981)无效。

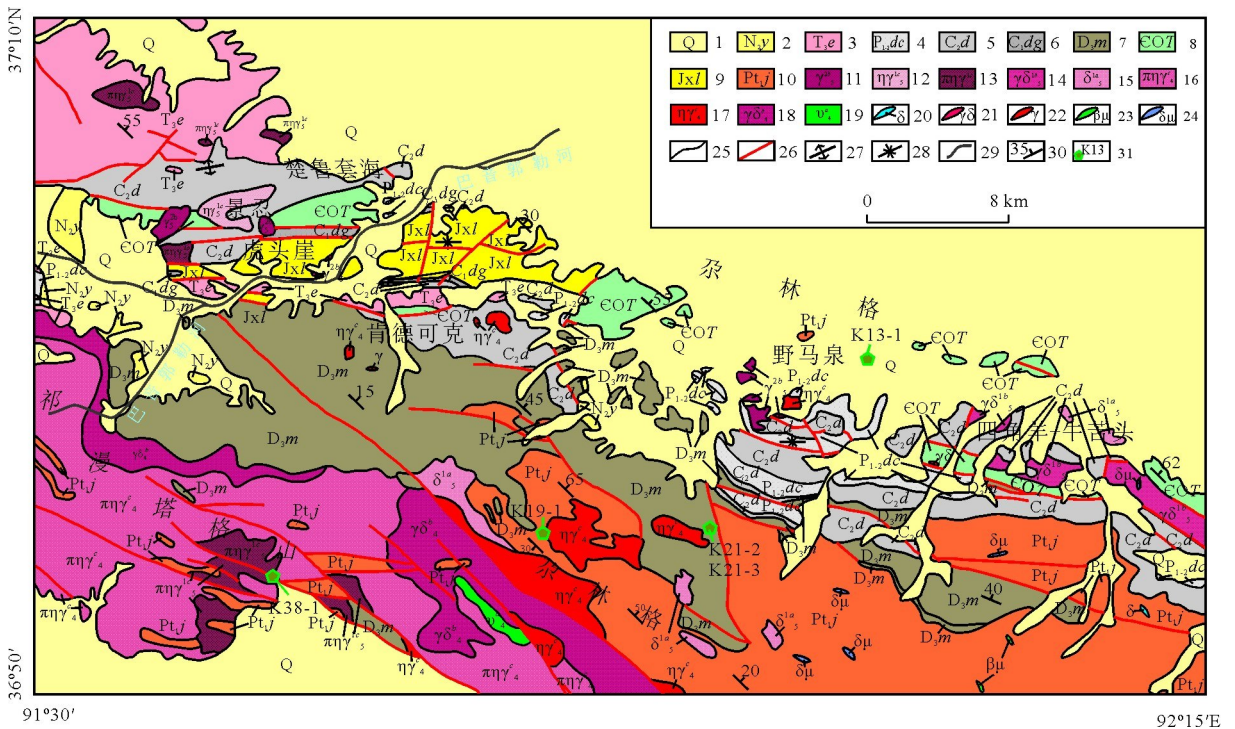


图 2 研究区地质简图与样点位置

Fig.2 Geological map and sample locations in Yemaquan region

1.第四系;2.新近系油砂山组;3.上三叠统鄂拉山组;4.中—下二叠统打柴沟组;5.上石炭统缙敖苏组;6.下石炭统大干沟组;7.上泥盆统牦牛山组;8.寒武系—奥陶系滩间山群;9.中—古元古界狼牙山组;10.中—古元古界金水口群;11.燕山期钾长花岗岩;12.印支期二长花岗岩;13.印支期斑状二长花岗岩;14.印支期花岗闪长岩;15.印支期闪长岩;16.华力西期斑状二长花岗岩;17.华力西期二长花岗岩;18.华力西期花岗闪长岩;19.华力西期辉长岩;20.闪长岩脉;21.花岗闪长岩脉;22.花岗岩脉;23.辉绿岩脉;24.闪长玢岩脉;25.地质界线;26.断层;27.背斜;28.向斜;29.水系;30.地层产状;31.采样点及编号;图改自高永宝等(2014)

3 实验结果与分析

本次试验最终获得 5 个样品的磷灰石裂变径迹分析结果(表 1)。

磷灰石裂变径迹年龄在 $(66 \pm 5) \sim (143 \pm 9)$ Ma, 均远小于岩体时代, 表明样品经历热事件的退火作用改造, 年龄变小, 是 130 Ma 以来陆内造山作用的体现。

样品 K21-2、K21-3 的 $P(\chi^2)$ 检验值大于 5%, 单颗粒年龄、径迹长度均呈单峰式分布(图 3 和图 4), 显示样品受单一热事件控制, 地质意义确切, 记录了样品经历的构造热事件。样品 K13-1、K19-1、K38-1 的 $P(\chi^2)$ 检验值小于 5%, 长度配分形态、单颗粒年龄均显示出双峰式特征, 呈混合型, 表明构造演化较为复杂。将裂变径迹年龄应用耶鲁大学 Brandon(2002)开发的 Binom Fit 程序分解, $P(\chi^2)$ 检验值小于 5% 的年龄分解为两组拟合年龄(图 5)。

样品的径迹平均长度分布于 $(11.0 \pm 1.8) \sim (12.5 \pm 1.8) \mu\text{m}$ (图 4), 变化范围较窄, 但长度值普遍较小, 标准差较大, 反映样品经历构造热事件, 在退火带时间较长。

统计 $P(\chi^2)$ 检验值大于 5% 和小于 5% 的年龄数据(表 1, 图 5), 分为 3 个年龄组: 153.8 Ma、106.8~81.0 Ma、48.7~44.4 Ma。莫宣学和潘桂棠(2006)通过构造—岩浆事件的约束, 提出了特提斯的演化到青藏高原的形成过程, 153.8 Ma 记录了晚侏罗世初到早白垩世末班公湖—怒江洋经历的闭合事件, 106.8~81.0 Ma 记录了拉萨地块与羌塘地块碰撞拼合在东昆仑地区的响应, 阿尔金断裂走滑隆

升(李海兵等, 2006); 48.7~44.4 Ma 是印度—欧亚大陆碰撞之后伸展事件的体现。磷灰石裂变径迹年龄体现出研究区经历了不同阶段构造隆升作用。

$P(\chi^2)$ 检验值大于 5% 的样品 K21-2、K21-3 的年龄、高程数据(表 1)显示, 样品高程与样品获得的年龄呈正相关, 这与样品脱离退火带的时间有关, 与野马泉地区自 130 Ma 以来整体隆升的特征相符。

4 地质热演化历史

根据 Ketcham *et al.*(1999)的退火模型, 运用 Monte Carlo 逼近法进行热历史模拟。依据裂变径迹参数、地质条件确定模拟的初始条件, 黑色实线为最佳的热历史路径, 红色区域拟合较好, 绿色区域为可接受区(图 6)。图 6 中 K-S 值、GOF 值均大于 0.5, 说明模拟结果较好(Arnaud *et al.*, 2003)。

模拟图(图略)显示冷却抬升基本一致, 总体上属于 4 阶段演化模式: (1) 从 130 Ma 到 110 Ma, 温度主体高于 100°C , 处于磷灰石裂变径迹退火带的底部; (2) 从 110 Ma 到 14 Ma, 温度从 100°C 降为 65°C , 温差为 35°C , 早期相对快速降温与拉萨地块和羌塘地块约 120 Ma 的碰撞活动(莫宣学和潘桂棠, 2006)相符, 后期进入一个时间较长的平静期; (3) 从 14 Ma 至今, 温度由 65°C 快速冷却至现今地表温度(约 15°C), 温差为 50°C , 为青藏高原的重大隆升期(钟大赉和丁林, 1996; 张克信等, 2008), 是印度板块和欧亚板块碰撞(Vincent and Allen, 1999; 莫宣学等, 2007b)的远程效应。

表 1 磷灰石裂变径迹分析结果

Table 1 Apatite fission track analysis results

原样品号	高程(m)	颗粒数(n)	$\rho_s(10^5/\text{cm}^2)$ (N_s)	$\rho_i(10^5/\text{cm}^2)$ (N_i)	$\rho_d(10^5/\text{cm}^2)$ (N_d)	$P(\chi^2)(\%)$	中心年龄 $\pm 1\sigma$ (Ma)	$L(\mu\text{m})$ (N)
K13-1	3 002	28	5.144 (1 757)	8.478 (2 896)	13.549 (9 117)	0.9	143 \pm 9	12.5 \pm 1.8 (101)
K19-1	4 410	28	7.370 (1 194)	27.673 (4 483)	13.727 (9 117)	0	66 \pm 5	11.0 \pm 1.8 (103)
K21-2	4 330	26	3.693 (506)	9.969 (1 366)	13.904 (9 117)	54.2	90 \pm 7	12.3 \pm 2.1 (74)
K21-3	4 082	4	5.389 (107)	16.770 (333)	14.349 (9 117)	38.4	81 \pm 10	11.8 \pm 1.9 (20)
K38-1	4 508	16	2.795 (375)	9.413 (1 263)	15.150 (9 117)	0	71 \pm 11	11.7 \pm 1.9 (49)

注: ρ_s 为自发径迹密度; ρ_i 为诱发径迹密度; ρ_d 为标准径迹密度; N_s 为自发径迹数; N_i 为诱发径迹数; N_d 为标准径迹数; N 为径迹长度数; $P(\chi^2)$ 为 χ^2 检验值。

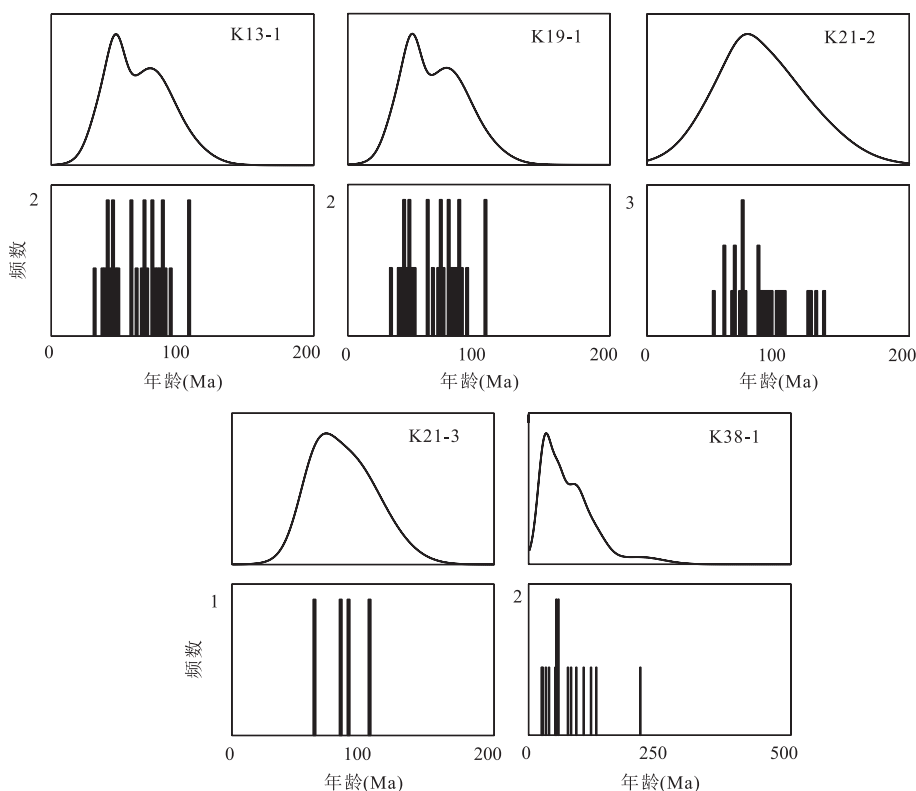


图 3 磷灰石样品裂变径迹单颗粒年龄直方图及其频率曲线
Fig.3 Apatite single grain ages histograms and frequency curves

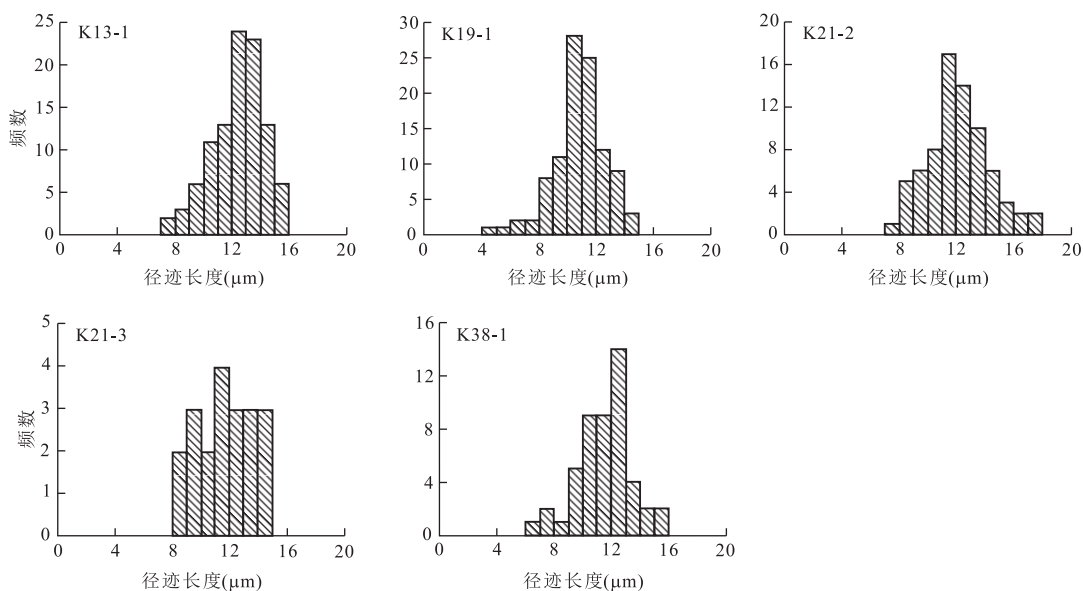


图 4 磷灰石裂变径迹长度分布直方图
Fig.4 Histograms of the apatite fission track lengths

5 岩石隆升

本文应用年龄—封闭温度法、冷却曲线模拟法和年龄—高程法对研究区隆升速率、隆升量进行定

量研究。

5.1 年龄—封闭温度法

年龄—封闭温度法可对研究区的平均隆升状态作出直观评价(Kohn *et al.*, 2002).

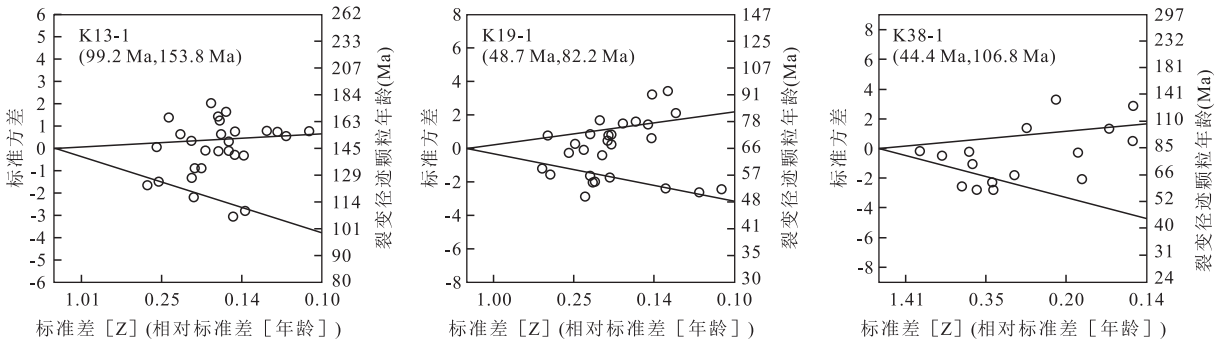


图 5 样品 $P(\chi^2)$ 检验值小于 5% 时裂变径迹年龄分组

Fig.5 Radial plots for AFT age grouping ($P(\chi^2) < 5\%$)

图中左上角分别为样品号及分组得到的年龄

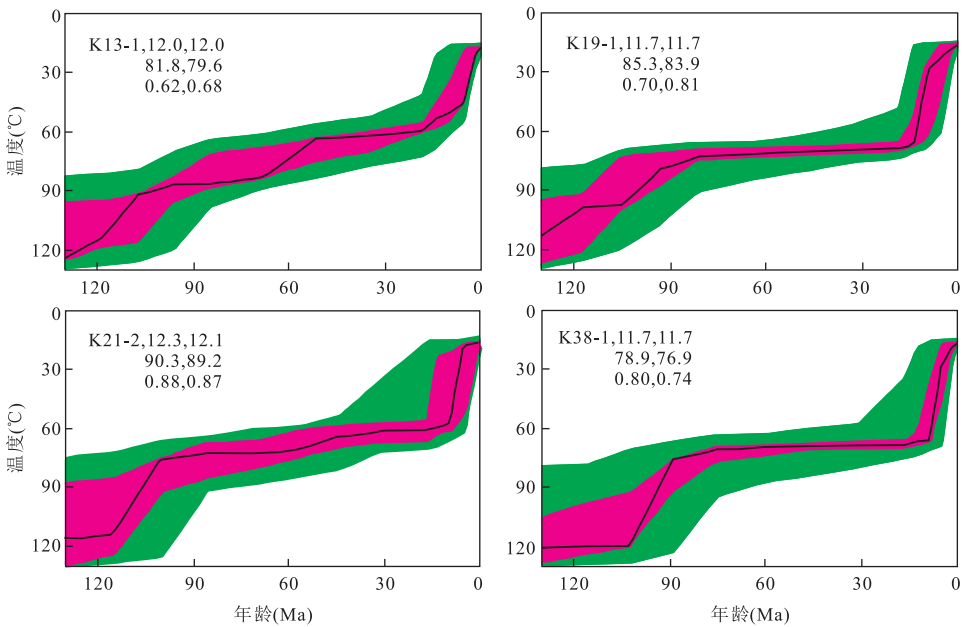


图 6 野马泉地区地质热演化历史模拟结果

Fig.6 Modeling geological thermal evolution histories in Yemaquan region

左上角分别为样品编号, 实测、模拟径迹长度 (μm), 实测、模拟 Pooled 年龄 (Ma), K-S 检验值及 GOF 年龄拟合参数

选取 $P(\chi^2)$ 检验值大于 5% 的样品 K21-2、K21-3, 封闭温度取 $100\text{ }^\circ\text{C}$, 地表温度一般为 $15\text{ }^\circ\text{C}$, 造山带平均地温梯度取 $35\text{ }^\circ\text{C}/\text{km}$ (Pichon *et al.*, 1997). 按照公式计算隆升速率: 隆升速率 \times 年龄值 = (封闭温度 - 地表温度) / 地温梯度. 结果显示, 样品的平均隆升速率相差不大, 分别为 0.027 mm/a 、 0.03 mm/a , 平均为 0.028 mm/a .

5.2 冷却曲线模拟法

不同阶段的隆升速率、隆升程度, 可以根据热历史模拟结果计算. 第 2 阶段温差和时间差分别为 $35\text{ }^\circ\text{C}$ 和 96 Ma 、第 3 阶段温差和时间差分别为 $50\text{ }^\circ\text{C}$ 和 14 Ma , 故两阶段的隆升速率和隆升幅度分别为 0.01 mm/a 和 1.0 km 、 0.1 mm/a 和 1.43 km . 由于第

一阶段上限没有其他矿物约束, 不能准确计算其隆升速率. 假设将第 1 阶段上限定为 130 Ma , 根据平均隆升速率 0.028 mm/a 计算, 第 1 阶段隆升速率和隆升量分别为 0.021 mm/a 和 0.42 km . 3 个阶段累计隆升量为 2.86 km .

5.3 年龄—高程法

通过垂直剖面上两个样品的高差除以同一测年法的年龄获得隆升速率, 按公式 $V = \Delta Z / \Delta t$ 计算. 本方法不需要古地温梯度值, 假定地温梯度保持不变, 不受地形影响. 适合于垂直采样, 可包括钻井、地表垂直剖面采样. 笔者在野马泉地区同一钻井中采集了样品 K21-2 和 K21-3, $P(\chi^2)$ 检验值均大于 5%, 具有明确的地质热事件意义, 采用年龄—高程法计算其隆升

速率为 0.028 mm/a,与年龄—封闭温度法计算的平均隆升速率是一致的,表明本次计算结果可信。

6 讨论

通过热历史演化在磷灰石裂变径迹中的记录,将野马泉地区白垩纪以来构造演化分为 3 个阶段。

第 1 阶段:130~110 Ma,岩石温度下降至 110 °C 进入磷灰石退火带,隆升 0.42 km,隆升速率为 0.021 mm/a,对应拉萨地块与羌塘地块的拼合事件(王璞珺等,2003;莫宣学和潘桂棠,2006)。

第 2 阶段:110~14 Ma,温度从 100 °C 降为 65 °C,温差为 35 °C,从热历史模拟结果来看,以 90 Ma 为界,早期相对快速降温抬升,后期进入一个时间较长的平静期。110~90 Ma 相对快速抬升事件在区域上得到多处响应,拉萨地块与羌塘地块碰撞拼合后阿尔金断裂发生走滑,形成北东南西向大规模走滑断层;格尔木南侧中生代深成岩体经历了一个重要的挤压事件,同时伴随着西大滩断裂的韧性变形(Mock *et al.*, 1999)。90~14 Ma 抬升变缓,但继续抬升冷却。

第 3 阶段:14 Ma 至今,温度从 65 °C 快速降到 15 °C,温差为 50 °C。钟大赉和丁林(1996)将青藏高原及周缘 13 Ma 以来划分为 13~8 Ma、3 Ma 至今两阶段构造热事件,张克信等(2008)亦提出 13 Ma 以来属于包括西昆仑和阿尔金在内的青藏高原的重大隆升期。总的来说,该地区受到青藏高原新近纪以来强烈构造活动的影响,快速抬升。

7 结论

对东昆仑野马泉地区 5 个样品进行磷灰石裂变径迹分析,得到磷灰石裂变径迹热年代学及构造事件演化:

(1)东昆仑野马泉地区磷灰石裂变径迹年龄分为 3 组:153.8 Ma 记录了班公湖—怒江洋在晚侏罗世初到早白垩世末闭合事件,106.8~81.0 Ma 记录了拉萨地块与羌塘地块碰撞拼合对东昆仑地区的远程效应,48.7~44.4 Ma 是印度—欧亚大陆碰撞之后伸展事件的体现。

(2)野马泉地区 130 Ma 以来总体上经历了 3 个阶段的演化:第 1 阶段(130~110 Ma)岩石温度处于磷灰石退火带,持续隆升,对应拉萨地块与羌塘地

块的拼合事件;第 2 阶段(110~14 Ma)持续隆升,90 Ma 之前隆升速度较快,与阿尔金走滑断裂及西大滩断裂韧性变形有关,90 Ma 之后进入一个时间较长的平静期;第 3 阶段(14 Ma 至今)受青藏高原新近纪以来强烈构造活动的影响,快速隆升。

(3)该地区 3 个阶段的隆升速率和隆升量分别为 0.021 mm/a 和 0.42 km、0.01 mm/a 和 1.0 km、0.1 mm/a 和 1.43 km,平均隆升速率为 0.028 mm/a,总隆升量为 2.86 km。

致谢:野外、室内工作中得到了张雷、刘月皓、段宏伟、陈小宁硕士及郝娜娜博士的帮助,论文修改得到了审稿专家的宝贵意见,在此一并表示衷心的感谢!

References

- Arnaud, N., Tapponnier, P., Roger, F., et al., 2003. Evidence for Mesozoic Shear along the Western Kunlun and Altyn-Tagh Fault, Northern Tibet (China). *Journal of Geophysical Research: Solid Earth*, 108 (B1): 2053—2064. <https://doi.org/10.1029/2001jb000904>
- Bai, Y. S., Ren, E. F., Fan, G. L., et al., 2008. Apatite Fission Track Evidence for the Miocene Rapid Uplift of the Qimantag Mountains on the Northwestern Margin of the Qinghai-Tibet Plateau. *Geological Bulletin of China*, 27 (7): 1044—1048 (in Chinese with English abstract).
- Brandon, M. T., 2002. Decomposition of Mixed Grain Age Distributions Using Binom Fit. *On Track*, 24: 13—18.
- Chen, H. W., Luo, Z. H., Mo, X. X., et al., 2006. SHRIMP Ages of Kayakedengtage Complex in the East Kunlun Mountains and Their Geological Implications. *Acta Petrologica et Mineralogica*, 25 (1): 25—32 (in Chinese with English abstract).
- Chen, N. S., Sun, M., Wang, Q. Y., et al., 2008. U-Pb Dating of Zircon from the Central Zone of the East Kunlun Orogen and Its Implications for Tectonic Evolution. *Science China: Earth Sciences*, 51 (7): 929—938. <https://doi.org/10.1007/s11430-008-0072-x>
- Chen, X. H., McRivette, M. W., Li, L., et al., 2011. Thermochronological Evidence for Multi-Phase Uplifting of the East Kunlun Mountains, Northern Tibetan Plateau. *Geological Bulletin of China*, 30 (11): 1647—1660 (in Chinese with English abstract).
- Chen, X. N., Yuan, W. M., Zhang, A. K., et al., 2014. Apatite Fission Track Analysis for Revealing Tectonic Events of the Bayinguole Area in the West Section of Eastern Kunlun Mountains, Northern Qinghai-Tibet Plateau. *Nuclear Techniques*, 37 (1): 54—61 (in Chinese with English abstract).

- Deng, J. F., Yang, J. J., Zhao, H. L., et al., 1996. Igneous Petro-tectonic Assemblages and Geotectonic Evolution along Golmud Ejinaiqi Geosciences Section. *Geoscience*, 10(3): 330–343 (in Chinese with English abstract).
- Galbraith, R. F., 1981. On Statistical Models for Fission Track Counts; Reply. *Journal of the International Association for Mathematical Geology*, 13(6): 485–488. <https://doi.org/10.1007/bf01034500>
- Gao, Y. B., Li, W. Y., Qian, B., et al., 2014. Geochronology, Geochemistry and Hf Isotopic Compositions of the Granitic Rocks Related with Iron Mineralization in Yemaquan Deposit, East Kunlun, NW China. *Acta Petrologica Sinica*, 30(6): 1647–1665 (in Chinese with English abstract).
- Gleadow, A. J. W., Duddy, I. R., Green, P. F., et al., 1986. Confined Fission Track Lengths in Apatite: A Diagnostic Tool for Thermal History Analysis. *Contributions to Mineralogy and Petrology*, 94(4): 405–415. <https://doi.org/10.1007/bf00376334>
- Gleadow, A. J. W., Kohn, B. P., Brown, R. W., et al., 2002. Fission Track Thermotectonic Imaging of the Australian Continent. *Tectonophysics*, 349(1–4): 5–21. [https://doi.org/10.1016/s0040-1951\(02\)00043-4](https://doi.org/10.1016/s0040-1951(02)00043-4)
- Green, P. F., 1981. A New Look at Statistics in Fission-Track Dating. *Nuclear Tracks*, 5(1–2): 77–86. [https://doi.org/10.1016/0191-278x\(81\)90029-9](https://doi.org/10.1016/0191-278x(81)90029-9)
- Green, P. F., 1986. On the Thermo-Tectonic Evolution of Northern England: Evidence from Fission Track Analysis. *Geological Magazine*, 123(5): 493–506. <https://doi.org/10.1017/s0016756800035081>
- Guo, L., Xiao, P. X., Gao, X. F., et al., 2010. Chronology and Geochemistry of Acid Intrusions in Chulutaohai Iron Ore, Eastern Kunlun. *Northwestern Geology*, 43(4): 159–167 (in Chinese with English abstract).
- Guo, Z. F., Deng, J. F., Xu, Z. Q., et al., 1998. Late Palaeozoic-Mesozoic Intracontinental Orogenic Process and Intermediate-Acidic Igneous Rocks from the Eastern Kunlun Mountains of Northwestern China. *Geoscience*, 12(3): 344–352 (in Chinese with English abstract).
- Hay, W. W., Shaw, C. A., Wold, C. N., 1989. Mass-Balanced Paleogeographic Reconstructions. *Geologische Rundschau*, 78(1): 207–242. <https://doi.org/10.1007/bf01988362>
- Hurford, A. J., Green, P. F., 1982. A Users' Guide to Fission Track Dating Calibration. *Earth and Planetary Science Letters*, 59(2): 343–354. [https://doi.org/10.1016/0012-821x\(82\)90136-4](https://doi.org/10.1016/0012-821x(82)90136-4)
- Ketchum, R. A., Donelick, R. A., Carlson, W. D., 1999. Variability of Apatite Fission-Track Annealing Kinetics; III, Extrapolation to Geological Time Scales. *American Mineralogist*, 84(9): 1235–1255. <https://doi.org/10.2138/am-1999-0903>
- Kohn, B. P., 2005. Visualizing Thermotectonic and Denudation Histories Using Apatite Fission Track Thermochronology. *Reviews in Mineralogy and Geochemistry*, 58(1): 527–565. <https://doi.org/10.2138/rmg.2005.58.20>
- Kohn, B. P., Gleadow, A. J. W., Brown, R. W., et al., 2002. Shaping the Australian Crust over the Last 300 Million Years: Insights from Fission Track Thermotectonic and Denudation Studies of Key Terranes. *Australian Journal of Earth Sciences*, 49(4): 697–717. <https://doi.org/10.1046/j.1440-0952.2002.00942.x>
- Li, H. B., Yang, J. S., Xu, Z. Q., et al., 2006. The Constraint of the Altyn Tagh Fault System to the Growth and Rise of the Northern Tibetan Plateau. *Earth Science Frontiers*, 13(4): 59–79 (in Chinese with English abstract).
- Liu, Y. H., Mo, X. X., Yu, X. H., et al., 2006. Zircon SHRIMP U-Pb Dating of the Jingren Granite, Yemaquan Region of the East Kunlun and Its Geological Significance. *Acta Petrologica Sinica*, 22(10): 2457–2463 (in Chinese with English abstract).
- Luo, Z. H., Deng, J. F., Cao, Y. Q., et al., 1999. On Late Paleozoic-Early Mesozoic Volcanism and Regional Tectonic Evolution of Eastern Kunlun, Qinghai Province. *Geoscience*, 13(1): 51–56 (in Chinese with English abstract).
- Métivier, F., Gaudemer, Y., 1997. Mass Transfer between Eastern Tien Shan and Adjacent Basins (Central Asia): Constraints on Regional Tectonics and Topography. *Geophysical Journal International*, 128(1): 1–17. <https://doi.org/10.1111/j.1365-246x.1997.tb04068.x>
- Mo, X. X., Pan, G. T., 2006. From the Tethys to the Formation of the Qinghai-Tibet Plateau: Constrained by Tectono-Magmatic Events. *Earth Science Frontiers*, 13(6): 43–51 (in Chinese with English abstract).
- Mo, X. X., Luo, Z. H., Deng, J. F., et al., 2007a. Granitoids and Crustal Growth in the East-Kunlun Orogenic Belt. *Geological Journal of China Universities*, 13(3): 403–414 (in Chinese with English abstract).
- Mo, X. X., Zhao, Z. D., Zhou, S., et al., 2007b. On the Timing of India-Asia Continental Collision. *Geological Bulletin of China*, 26(10): 1240–1244 (in Chinese with English abstract).
- Mock, C., Arnaud, N. O., Cantagrel, J. M., 1999. An Early Unroofing in Northeastern Tibet? Constraints from $^{40}\text{Ar}/^{39}\text{Ar}$ Thermochronology on Granitoids from the Eastern Kunlun Range (Qinghai, NW China). *Earth*

- and *Planetary Science Letters*, 171 (1): 107 – 122. [https://doi.org/10.1016/s0012-821x\(99\)00133-8](https://doi.org/10.1016/s0012-821x(99)00133-8)
- Pichon, X. L., Henry, P., Goffé, B., 1997. Uplift of Tibet: From Eclogites to Granulites—Implications for the Andean Plateau and the Variscan Belt. *Tectonophysics*, 273 (1 – 2): 57 – 76. [https://doi.org/10.1016/s0040-1951\(96\)00288-0](https://doi.org/10.1016/s0040-1951(96)00288-0)
- Vincent, S. J., Allen, M. B., 1999. Evolution of the Minle and Chaoshui Basins, China: Implications for Mesozoic Strike-Slip Basin Formation in Central Asia. *Geological Society of America Bulletin*, 111 (5): 725 – 742. [https://doi.org/10.1130/0016-7606\(1999\)111<0725:eotmac>2.3.co;2](https://doi.org/10.1130/0016-7606(1999)111<0725:eotmac>2.3.co;2)
- Wang, A., Wang, G. C., Xie, D. F., et al., 2006. Fission Track Geochronology of Xiaonanchuan Pluton and the Morphotectonic Evolution of Eastern Kunlun since Late Miocene. *Journal of Earth Science*, 17 (4): 302 – 309. [https://doi.org/10.1016/s1002-0705\(07\)60003-x](https://doi.org/10.1016/s1002-0705(07)60003-x)
- Wang, G. C., Xiang, S. Y., Wang, A., et al., 2007. Thermochronological Constraint to the Processes of the East Kunlun and Adjacent Areas in Mesozoic-Early Cenozoic. *Earth Science*, 32 (5): 605 – 614, 680 (in Chinese with English abstract).
- Wang, P. J., Mattern, F., Schneider, W., et al., 2003. The Cretaceous of the Eastern Bangong-Nujiang Suture Zone (Tibet): Tectono-Sedimentation. *Global Geology*, 22 (2): 105 – 110, 118 (in Chinese with English abstract).
- Xu, D. Z., Zhu, C. B., Meng, X. G., et al., 2016. Fault Activity Characteristics in the Northern Margin of the Tibetan Plateau before the Menyuan M_s 6.4 Earthquake. *Geodesy and Geodynamics*, 7 (4): 261 – 267. <https://doi.org/10.1016/j.geog.2016.07.001>
- Yuan, W. M., Dong, J. Q., Wang, S. C., et al., 2005. Apatite Fission Track Analysis for Revealing Tectonic Evolution of the South-Block in Eastern Kunlun Mountains, Northern Qinghai-Tibet Plateau. *Nuclear Techniques*, 28 (9): 707 – 711 (in Chinese with English abstract).
- Yuan, W. M., Dong, J. Q., Wang, S. C., et al., 2006. Apatite Fission Track Evidence for Neogene Uplift in the Eastern Kunlun Mountains, Northern Qinghai-Tibet Plateau, China. *Journal of Asian Earth Sciences*, 27 (6): 847 – 856. <https://doi.org/10.1016/j.jseas.2005.09.002>
- Yuan, W. M., Mo, X. X., Yu, X. H., et al., 2000a. The Record of Indosinian Tectonic Setting from the Granitoid of Eastern Kunlun Mountains. *Geological Review*, 46 (2): 203 – 211 (in Chinese with English abstract).
- Yuan, W. M., Wang, S. C., Wang, L. F., 2000b. Application of Fission Track Thermochronology to Hongshuihe Gold Mineralization Ages. *Atomic Energy Science and Technology*, 34 (Suppl.): 57 – 60 (in Chinese with English abstract).
- Yuan, W. M., Mo, X. X., Zhang, A. K., et al., 2013. Fission Track Thermochronology Evidence for Multiple Periods of Mineralization in the Wulonggou Gold Deposits, Eastern Kunlun Mountains, Qinghai Province. *Journal of Earth Science*, 24 (4): 471 – 478. <https://doi.org/10.1007/s12583-013-0362-x>
- Yuan, W. M., Zhang, X. T., Dong, J. Q., et al., 2003. A New Vision of the Intracontinental Evolution of the Eastern Kunlun Mountains, Northern Qinghai-Tibet Plateau, China. *Radiation Measurements*, 36 (1 – 6): 357 – 362. [https://doi.org/10.1016/s1350-4487\(03\)00151-3](https://doi.org/10.1016/s1350-4487(03)00151-3)
- Yuan, W. M., Zhang, X. T., Dong, J. Q., et al., 2004. Apatite Fission Track Evidence on the Uplifting of Eastern Kunlun Mountains. *Atomic Energy Science and Technology*, 38 (2): 166 – 168 (in Chinese with English abstract).
- Zhang, A. K., 2012. Studies on Late Paleozoic-Early Mesozoic Magmatism and Mineralization in Yemaquan Area, Qinghai Province (Dissertation). China University of Geosciences, Beijing (in Chinese with English abstract).
- Zhang, K. X., Wang, G. C., Cao, K., et al., 2008. The Main Uplift Events of Tibet Plateau during Cenozoic: The Response of Sedimentation and the Record of Thermochronology. *Science in China (Series D)*, 38 (12): 1575 – 1588 (in Chinese).
- Zhang, W., Zhou, H. W., Zhu, Y. H., et al., 2016. The Evolution of Triassic Granites Associated with Mineralization within East Kunlun Orogenic Belt: Evidence from the Petrology, Geochemistry and Zircon U-Pb Geochronology of the Mohexiala Pluton. *Earth Science*, 41 (8): 1334 – 1348 (in Chinese with English abstract). <https://doi.org/10.3799/dqkx.2016.520>
- Zhang, X. T., 2006. Study on the Tectonic Framework of Qinghai (Dissertation). China University of Geosciences, Beijing (in Chinese with English abstract).
- Zhang, Y. F., 1994. Preliminary Approach on Geologic Structure Evolution in Qinghai Province and Its Adjacent Area. *Earthquake Research in Plateau*, 6 (3): 10 – 16 (in Chinese with English abstract).
- Zhao, F. F., Sun, F. Y., Liu, J. L., 2017. Zircon U-Pb Geochronology and Geochemistry of the Gneissic Granodiorite in Manite Area from East Kunlun, with Implications for Geodynamic Setting. *Earth Science*, 42 (6): 927 – 940, 1044 (in Chinese with English abstract). <https://doi.org/10.3799/dqkx.2017.073>
- Zhong, D. L., Ding, L., 1996. Study on the Process and Mode of Uplift in Tibet Plateau. *Science in China (Series D)*,

26(4):289-295(in Chinese).

Zhu, Y. H., Lin, Q. X., Jia, C. X., et al., 2006. SHRIMP Zircon U-Pb Age and Significance of Early Paleozoic Volcanic Rocks in East Kunlun Orogenic Belt, Qinghai Province, China. *Science in China (Series D)*, 49(1): 88-96. <https://doi.org/10.1007/s11430-004-5317-8>

附中文参考文献

- 拜永山, 任二峰, 范桂兰, 等, 2008. 青藏高原西北缘祁漫塔格山中新世快速抬升的磷灰石裂变径迹证据. *地质通报*, 27(7): 1044-1048.
- 湛宏伟, 罗照华, 莫宣学, 等, 2006. 东昆仑喀雅克登塔格杂岩体的 SHRIMP 年龄及其地质意义. *岩石矿物学杂志*, 25(1): 25-32.
- 陈小宁, 袁万明, 张爱奎, 等, 2014. 东昆仑西段巴音郭勒地区构造事件的磷灰石裂变径迹分析. *核技术*, 37(1): 54-61.
- 陈宣华, McRivette, M. W., 李丽, 等, 2011. 东昆仑造山带多期隆升历史的地质热年代学证据. *地质通报*, 30(11): 1647-1660.
- 邓晋福, 杨建军, 赵海玲, 1996. 格尔木—额济纳旗断面走廊域火成岩—构造组合与大地构造演化. *现代地质*, 10(3): 330-343.
- 高永宝, 李文渊, 钱兵, 等, 2014. 东昆仑野马泉铁矿相关花岗岩体年代学、地球化学及 Hf 同位素特征. *岩石学报*, 30(6): 1647-1665.
- 过磊, 校培喜, 高晓峰, 等, 2010. 东昆仑楚鲁套海酸性侵入体年代学及地球化学特征. *西北地质*, 43(4): 159-167.
- 郭正府, 邓晋福, 许志琴, 等, 1998. 青藏东昆仑晚古生代末—中生代中酸性火成岩与陆内造山过程. *现代地质*, 12(3): 344-352.
- 李海兵, 杨经绥, 许志琴, 等, 2006. 阿尔金断裂带对青藏高原北部生长、隆升的制约. *地学前缘*, 13(4): 59-79.
- 刘云华, 莫宣学, 喻学惠, 等, 2006. 东昆仑野马泉地区景忍花岗岩锆石 SHRIMP U-Pb 定年及其地质意义. *岩石学报*, 22(10): 2457-2463.
- 罗照华, 邓晋福, 曹永清, 等, 1999. 青海省东昆仑地区晚古生代—早中生代火山活动与区域构造演化. *现代地质*, 13(1): 51-56.
- 莫宣学, 潘桂棠, 2006. 从特提斯到青藏高原形成: 构造—岩

浆事件的约束. *地学前缘*, 13(6): 43-51.

- 莫宣学, 罗照华, 邓晋福, 等, 2007a. 东昆仑造山带花岗岩及地壳生长. *高校地质学报*, 13(3): 403-414.
- 莫宣学, 赵志丹, 周肃, 等, 2007b. 印度—亚洲大陆碰撞的时限. *地质通报*, 26(10): 1240-1244.
- 王国灿, 向树元, 王岸, 等, 2007. 东昆仑及相邻地区中生代—新生代早期构造过程的热年代学记录. *地球科学*, 32(5): 605-614, 680.
- 王璞珺, Mattern, F., Schneider, W., 等, 2003. 西藏班公湖—怒江缝合带白垩系沉积特征及其构造意义. *世界地质*, 22(2): 105-110, 118.
- 袁万明, 董金泉, 王世成, 等, 2005. 东昆仑南部带磷灰石裂变径迹分析的地质意义. *核技术*, 28(9): 707-711.
- 袁万明, 莫宣学, 喻学惠, 等, 2000a. 东昆仑印支期区域构造背景的花岗岩记录. *地质论评*, 46(2): 203-211.
- 袁万明, 王世成, 王兰芬, 2000b. 裂变径迹法在洪水河金矿化时代研究中的应用. *原子能科学技术*, 34(增刊): 57-60.
- 袁万明, 张雪亭, 董金泉, 等, 2004. 东昆仑隆升作用的裂变径迹研究. *原子能科学技术*, 38(2): 166-168.
- 张爱奎, 2012. 青海省野马泉地区晚古生代—早中生代岩浆作用与成矿研究(博士学位论文). 北京: 中国地质大学.
- 张克信, 王国灿, 曹凯, 等, 2008. 青藏高原新生代主要隆升事件: 沉积响应与热年代学记录. *中国科学(D辑)*, 38(12): 1575-1588.
- 张炜, 周汉文, 朱云海, 等, 2016. 东昆仑与成矿有关的三叠纪花岗岩演化: 基于莫河下拉岩体岩石学、地球化学和锆石 U-Pb 年代学的证据. *地球科学*, 41(8): 1334-1348. <https://doi.org/10.3799/dqkx.2016.520>
- 张雪亭, 2006. 青海省大地构造格架研究(博士学位论文). 北京: 中国地质大学.
- 张以菲, 1994. 青海及邻近地区地质构造演化初探. *高原地震*, 6(3): 10-16.
- 赵菲菲, 孙丰月, 刘金龙, 2017. 东昆仑马尼特地区片麻状花岗岩闪长岩锆石 U-Pb 年代学、地球化学及其构造背景. *地球科学*, 42(6): 927-940, 1044. <https://doi.org/10.3799/dqkx.2017.073>
- 钟大赟, 丁林, 1996. 青藏高原的隆起过程及其机制探讨. *中国科学(D辑)*, 26(4): 289-295.